



Fig. 1.- Vista general del Barranco de Berrazales-Agaete. Coladas de la formación basáltica I. Al fondo se observa el Edificio Roque Bermejo (RB) apoyado discordantemente sobre la formación basáltica I.

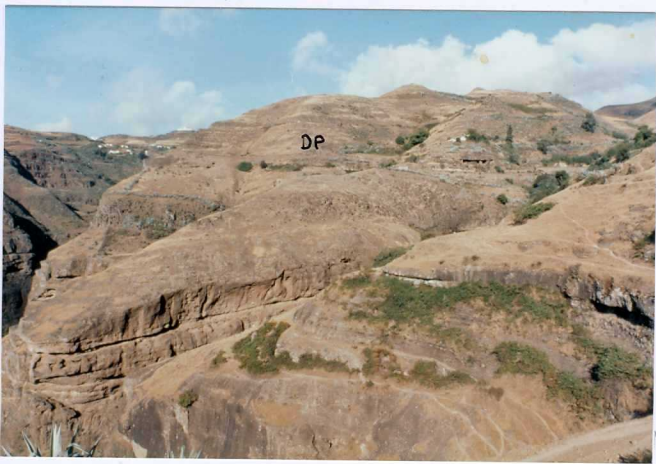


Fig. 10.- Depósitos epiclásticos (DP) del Ciclo Roque Nublo sobre coladas y brechas del mismo ciclo, en la carretera de Lugarejos a Fagajesto.



Fig. 11.- Depósitos epiclásticos del Ciclo Roque Nublo, en la ladera norte - del Barranco Hondo de Abajo.



Fig. 12.- Detalle de los depósitos epiclásticos del Ciclo Roque Nublo, en la desembocadura del Barranco Hondo de Abajo.



Fig. 13.- Depósitos epiclásticos (DP) del Ciclo Roque Nublo discordantes sobre el complejo de diques del "cone-sheet" (C-S) que buzan hacia el SO.



Fig. 14.- Relieves característicos de los depósitos de la brecha Roque Nublo, en la ladera oeste del Barranco de La Virgen (al E. de Doramas).



Fig. 15.- Detalle de los depósitos de la brecha Roque Nublo en las laderas de las laderas de los relieves elevados al sur de Teror.



Fig. 16.- Detalle puntual de los depósitos de la brecha Roque Nublo, en - Utiaca.

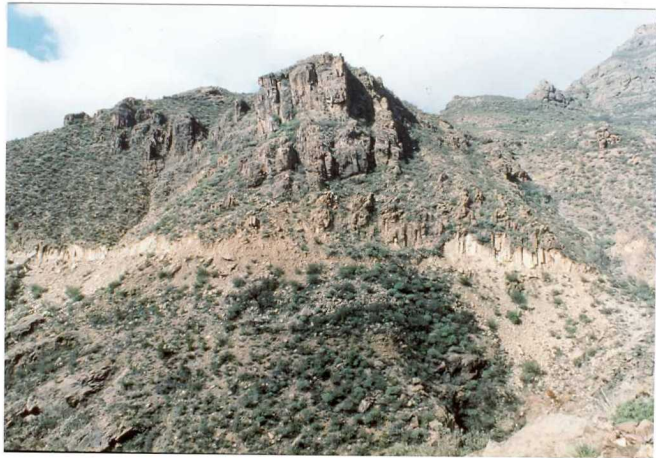


Fig. 17.- Pitón fonolítico del Morro de los Cuervos perteneciente al Ciclo Roque Nublo, al SO. de Artenara.



Fig. 18.- Pitón fonolítico de los Brezos, perteneciente al Ciclo Roque - Nublo, en el km. 2 de la carretera Artenara a Casas de Tamadaba.



Fig. 19.- Pitón fonolítico de Lanzarote, perteneciente al Ciclo Roque Nublo, semicubierto por los lapillis de dispersión del Edificio reciente de Las Montañetas.



Fig. 2.- Falla (F) de la Caldera de Tejeda, con las coladas de la formación basáltica I abajo y las traquitas de la formación traquítico riolítica intracaldera arriba, en la ladera oeste del Barranco de Berrazales-Agaete.



Fig. 20.- Primera colada del Ciclo Post Roque Nublo con una base de piroclastos de caida y disyunción columnar, sobre coladas del Ciclo Roque Nublo (no visibles en la foto), en la carretera de Cruz de Tejeda a Artenara.



Fig. 21.- Colada del Ciclo Post Roque Nublo (PRN) discordante sobre la brecha Roque Nublo (BRN), en la cabecera del Barranco de La Virgen.



Fig. 22.- Coladas del Ciclo Post Roque Nublo (PRN) discordantes sobre coladas de la formación basáltica I (B) en la ladera norte del Lomo de San Pedro. Al fondo los escarpes traquíticos del Barranco de Berrazales-Agaete.



Fig. 23.- Coladas del Ciclo Post Roque Nublo discordantes sobre la brecha Roque Nublo, en la Vega del Palomino (ladera norte del Barranco Hondo de Abajo).



Fig. 24.- Relieves erosionados del Ciclo Post Roque Nublo en la zona de Majadales. La erosión diferencial ha hecho resaltar a los diques (D) sobre los depósitos piroclásticos.



Fig. 25.- Dique divagante del Ciclo Post Roque Nublo, resaltando por erosión diferencial sobre depósitos piroclásticos, en la zona de Majadales.



Fig. 26.- Apilamiento de coladas del Ciclo Post Roque Nublo (PRN) y Montaña Gordo, al oeste de Fagajesto. La zona inferior del apilamiento - son brechas y coladas del Ciclo Roque Nublo.



Fig. 27.- Edificios piroclásticos de Osorio (O), Morón (M) y La Montañeta - (LM), al NE. de Teror.



Fig. 28.- Edificio La Laguna de Valleseco (LLV) y Osorio al fondo (O).



Fig. 29.- Disyunción columnar prismática u "órganos" en las coladas del -
Ciclo Post Roque Nublo de la ladera norte del Barranco de Alonso.

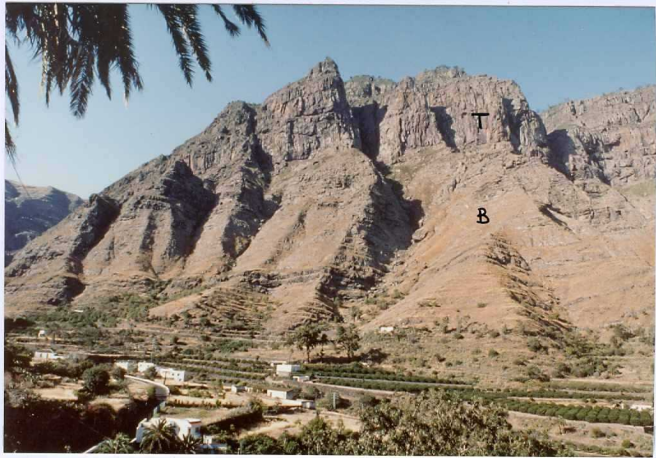


Fig. 3.- Discordancia entre coladas de la formación basáltica I (B) y traquitas de la formación traquítico-riolítica intracaldera (T), en la ladera oeste del Barranco de Berrazales-Agaete.



Fig. 30.- Disyunción columnar en roseta (o "rosa de piedra") en las coladas del Ciclo Post Roque Nublo del Barranco de Alonso.



Fig. 31.- Discordancias intraformacionales en las coladas del Ciclo Post Roque Nublo. (m) medio y (s) superior, en la ladera sur del Barranco de Las Lagunetas.



Fig. 32.- Depresión circular en el cauce del Barranco de Alonso, producida por la generación del maar de Hoya Brava.



Fig. 33.- Depósitos hidroclásticos del maar de Hoya Brava en la ladera norte del Barranco de Alonso. Alternancia de lapillis y "surges".

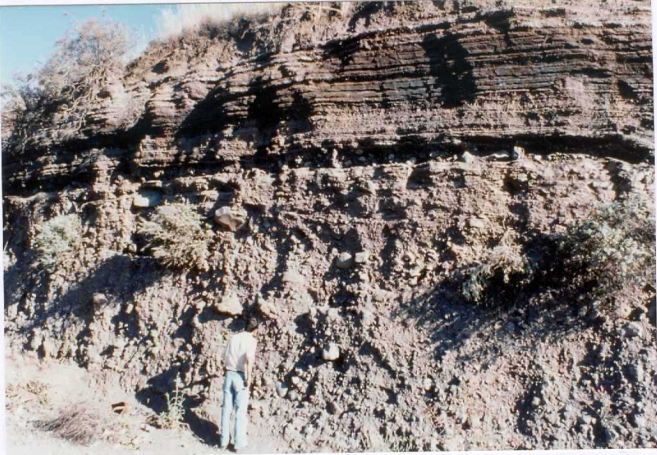


Fig. 34.- Depósitos hidroclásticos del maar de Hoya Brava. En la parte inferior, la brecha de explosión y en la superior, alternancia de lapillis y "surges".



Fig. 35.- Caldera de Pino Santo, vista hacia el NE.



Fig. 36.- Panorámica interna de la Caldera de Pino Santo.



Fig. 37.- Edificio Montaña de Troya.



Fig. 38.- Depósitos hidroclásticos asociados al Edificio La Lechuza, en un lomo al norte del mismo.



Fig. 39.- Edificio Las Montañetas de Valleseco.

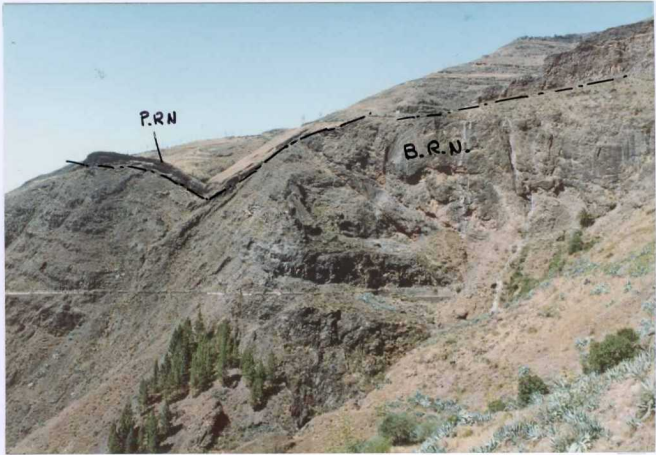


Fig. 4.- Discordancia entre la brecha Roque Nublo (BRN) y coladas de la formación basáltica I (B), en la ladera oriental del Barranco de Berrazales-Agaete. Discordante con ambas están también las coladas del Ciclo Post Roque Nublo (PRN).



Fig. 40.- Malpais y cono piroclástico del Montañón Negro.



Fig. 41.- Ladera sur del Edificio Montañón Negro y cantera de "picón".



Fig. 42.- Panorámica de la Caldera de los Pinos de Gáldar.



Fig. 43.- Caldera de Fagajesto.



Fig. 44.- Niveles estratificados de lapillis de dispersión y "surges" dis- tales de la erupción de Fagajesto.



Fig. 45.- Depósitos de lapillis de dispersión procedentes del Edificio El Sao (S).



Fig. 46.- Colada (C) "intracanyon" procedente del Edificio El Sao (Ciclo Reciente), cayendo al Barranco de Berrazales-Agaete. Obsérvense los escarpes del barranco, constituidos por coladas del Ciclo Post Roque Nublo y brechas y coladas del Ciclo Roque Nublo.



Fig. 5.- Complejo de diques del "cone-sheet" buzando hacia el sur en la ladera norte del Barranco de Tejeda. Al fondo se observa la Mesa de Acusa (MA).



Fig. 6.- Pitón fonolítico al sur de los Brezos, perteneciente a la formación fonolítica.



Fig. 7.- Apilamiento de coladas básicas del Ciclo Roque Nublo, en la desembocadura del Barranco del Sao.



Fig. 8.- Alternancia de brecha Roque Nublo y coladas básicas en la ladera norte del Barranco de Tejeda, zona de Riscos de Chapín. En primer término se observa los diques atravesando materiales brechoides del Roque Nublo.

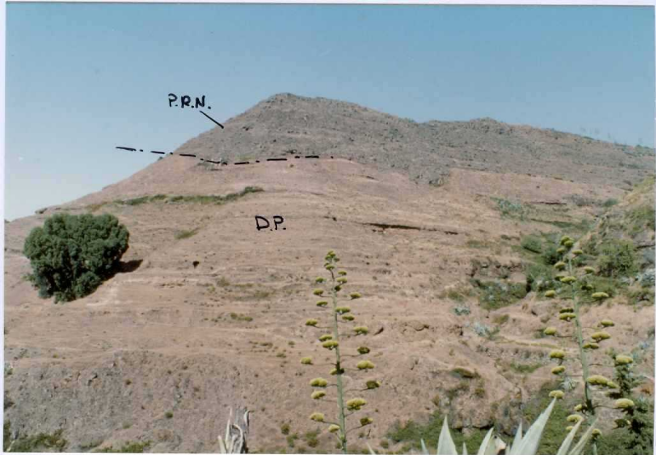


Fig. 9.- Depósitos epiclásticos (tobas, brechas, "mud flows" y sedimentos - (DP) cubiertos por coladas básicas del Ciclo Post Roque Nublo (PRN), en la ladera norte del Lomo de la Vega del Palomino.